

弯曲水路の河床変動に関する研究

京都大学防災研究所

正員 芦田和男

"

村本嘉雄

京都大学大学院

学生員 吉村知司

毎次学会では、弯曲水路の河床変動に対して二次流の影響を重視し、又種々曲率半径の弯曲水路の実験と二次流の影響を加味した流砂の連続式、平衡状態の流砂量式、Manning型の平均流速式に基づく解説によつて洗掘初期の河床横断形状が表わせることより洗掘の進行過程も統一的に説明できることを明かにした。しかし洗掘に対する河床材料の特性の影響、洗掘進行後の河床形状と水理量との関係、平均的河床変化とその変動特性の検討など残された問題は多い。本報告では、これらの問題の内とくに砂の粒径の変化に伴なう洗掘過程における形状の変化と洗掘の進行に伴なう水理量の変化を検討した結果を述べる。

1 粒径の相違による洗掘特性の変化、特に平均粒径の効果だけを検討するためには、表-1 に示すように、以前の実験(A砂)とはほぼ同様の特性を持つ均一砂と平均粒径のみ3倍異なるB砂を用いた。実験条件も以前の実験との比較を考慮、曲率半径、河床こう配一定のもとで外壁にかけた洗掘速度を予め推算して実験流量を決定した。現在までに行なった実験ケース(B-1~3)を以前の実験(A-1~4)と併せて表示すると表-2 のようである。これは弯曲部を含む一定区間(約~2m)の平均粗度係数である。Aのケースと比較すると河床変動の柱状は ripple の発生がみられず dune の形態が顕著にならず以外、洗掘解析とその変動形態には差異が認められなかった。

実験ケース	密度 (g/cm³)	平均粒径 dm(cm)	分散 S (—)	空隙率 (%)
A	2.62	0.058	1.33	43
B	2.63	0.174	1.42	41

表-1 実験砂の特性

実験ケース	r_c (cm)	流量 Q (l/s)	勾配 (z)	水深 h (cm)	$n (m^{1/3} \text{sec})$
A-1	150	1	0.01	1.07	0.0260
A-2	150	2	0.01	1.42	0.0208
A-3	150	3	0.01	1.88	0.0222
A-4	150	4	0.01	2.10	0.0199
B-1	150	6	0.01	2.98	0.0242
B-2	150	8	0.01	3.60	0.0231
B-3	150	10	0.01	4.05	0.0243

表-2 実験ケース

(ii)無次元量による洗掘過程の表示：平均洗掘深(\bar{z})として弯曲流入点より下流1mまでの外壁にかけた洗掘深の平均値を用い、その時間的変化を示すと図-1のようになら。B砂に比してA砂の洗掘が進行していることは初期の場合だけ時間的に云々の変動が大きい。流砂量式として $q_B = k d U_r (U_r^2 - U_{rc}^2)^{1/2} / (1 - \lambda) g d_s^{1/2}$ を用い、定数は実測結果より $k=30$, $m=2$ とした。半径方向の流砂量 q_r を

$$q_r = q_B \tan \phi = -D \frac{\partial}{\partial r} q_B$$

$$\text{水面こう配 } i = \frac{dz}{r}$$

とし、二次流の影響を重視する流砂の連続式 $\frac{\partial z}{\partial t} - \frac{1}{1-\lambda} \frac{\partial}{\partial r} (r q_r) = 0$ を用いて外壁 z の $\frac{dz}{dt}$ を求めると

$$\frac{dz}{dt} = 60 D (\frac{\partial}{\partial r} - 1)^{-1} R_c^2 (q_r) dz / r^2 d^2 (1-\lambda)^2 A^2 R_c^2 (1 - \frac{dz}{r})$$

となる。無次元量として $z = q_B / d_s (1-\lambda) g d_s^{1/2}$ を導入すると

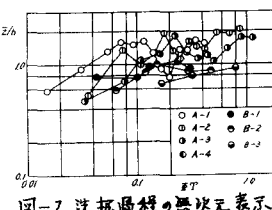


図-2 洗掘過程の無次元表示

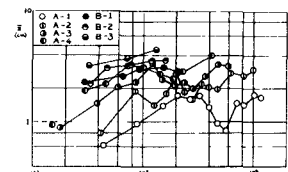


図-1 水の時間的変化

$$z/R = C_1 \eta^{\frac{1}{2}}$$

で表わされる。ここで C_1 : 定数, a : 側壁の影響域の長さ,

$$\eta = A^{-1} d^{-1} R^{-1} \{(C_1 - 1) g d\}^{1/2} g^2 t$$

図-2に z/R と $\eta^{\frac{1}{2}}$ の関係を示す。B砂のケースはA砂のケースより相対的洗掘深が若干小さいようであるが、現在の実験範囲ではまだ明確ではなく、この配、曲率半径の異なる実験を行って比較する必要がある。

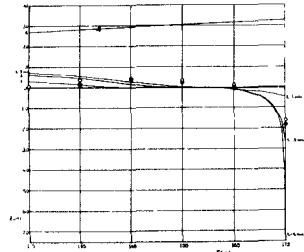


図-3 計算値と実験値の比較

(2) 特性曲線による解析結果との比較: B-1 のケースに関する、特性曲線法によつて解析を行ない、横断河床形状の時間的变化を求めた。時間間隔は 10 sec で計算は KDC-II によつて行なつた。計算した結果と実験値と比較を図-3 に示してある。実験値としては、二次流の発達域である $120^\circ \sim 180^\circ$ の平均値を用いた。内壁付近では余り計算値と一致していないが、実験値が大きくなっている。この原因として弯曲部における砂堆の移動を考慮していないことと、二次流に対する側壁付近の補正函数が流量の変化によつて変化するのではないかことが考えられる。

2. 洗掘進行後の流速特性の変化: 弯曲部で洗掘が生じる場合=二次流がどのよしに変化するかを検討するためケース B-1 に関する最終状態の河床をセメント上にし、これを Y 方向、および X 方向の流速 u , v と求めた。水理条件は弯曲部で $R = 3.02 \text{ cm}$, $U_m = 39.7 \text{ cm/sec}$, $n = 0.024 \text{ m}^{1/6}/\text{sec}$, $F_r = 0.73$ であつて、セメント固定による流況の変化はみられない。図-4, 図-5 は 60° , 140° の卓の流向分布を示す。図-4 に Rogovskii の理論に側壁の影響を考慮した曲線が示してあるが、実測値はこれよりずつと大きくなっているのがわかる。また、 60° の外壁近くの流向分布は通常の弯曲波特性を示していなかつて 140° では一様に中心方向に向つている。いずれの場合も $\tan \phi$ の値は側壁付近で小さくなつており、通常の二次流の分布式を補正する必要があるが、洗掘進行した状態でよりよき函数にすることは現在明瞭かでない。図-5 は 140° の u , v 分布を示したものである。この分布は上述の計算の仮定のように水理に対応した変化をしていくなく、いか前面の曲率の影響によつて上方へ減少するなど複雑な特性を示している。

今後、曲率半径、こう配を変えて実験して平均粒径の影響を検討するとともに各洗掘段階の流速特性および弯曲部における $dune$ など変動量の特性を突明するつもりである。

* 芦田、村本、坂本：弯曲水路における河床変動に関する研究

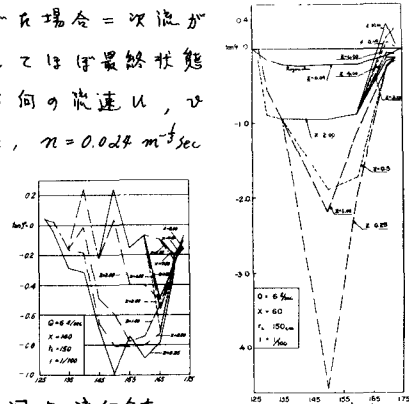


図-4 流向分布

図-4 流向分布

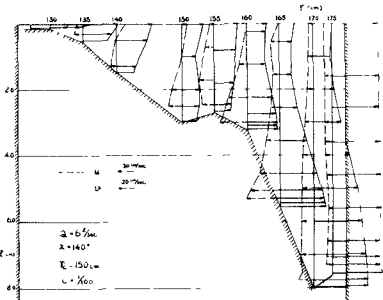


図-5 u, v 分布